

路盤材としての製鉄スラグの2, 3の特性について

神戸大学工学部
正会員 西 勝
神戸大学大学院
学生員 ○小畠博之
神戸大学工学部
学生員 小西雅弘

1. まえがき

製鉄の副産物であるスラグは、ここ数年来の施工実績により、ようやくその真価を実証認識する段階に至り、現在では多種多様な方面に利用されている。前報では、高炉スラグを用いた予備的な実験結果を報告したが、供試体自体のバラッキが大きくスラグの硬化現象を定量的に把握することが困難であった。そこで、今回2種のスラグを用いて、同一供試体に関する室内繰返し三軸試験を実施した。また、得られた実験結果を用いて、舗装の实用性解析を行なったので、その結果も併せて報告する。

2. 試料および実験概要

試料は、前報¹⁾で報告した高炉スラグおよび水碎スラグと軽炉スラグの混合物(以下水碎スラグと称す。 $G_s=2.76$, $U_c=3.96$, $D_{10}=0.21\text{mm}$)で、空気乾燥した後 9.52mm フルイを通過するものを使用した。供試体(高さ 110mm , 直径 50mm)は最適含水比(高炉スラグ; $w_{opt}=8.3\%$, 水碎スラグ; $w_{opt}=8.5\%$)のもとで、できみだけ密に締固めた。各供試体の養生方法および実験装置については既に報告したので省略する。ここでは、具体的な載荷条件のみを表-1に示しておく。

表-1 載荷条件

載荷回数	載荷周期	載荷時間	偏差応力	側圧	平均主応力
1000 ~ 8000 (回)	20 (cpm)	0.3 (秒)	0.1 ~ 1.5 (kg/cm^2)	0.1 ~ 1.0 (kg/cm^2)	0.4, 0.65, 1.1 (kg/cm^2)

3. 実験結果

図-1は、平均主応力 $P=1.1\text{kg}/\text{cm}^2$ のもとで、徐冷スラグを用いた実験結果より、弾性変形係数 M_{rb} と材令の関係を示したものである。同図より、各養生条件によつて異なるが、 M_{rb} は材令の進行に伴つて次第に大きくなることが認められる。この傾向は、他の平均主応力のもとでも同様である。なお、水碎スラグについては、ほぼ同様の値であるが、養生条件によつて若干の差異が認められた。

図-2は、徐冷スラグのポアソン比と応力

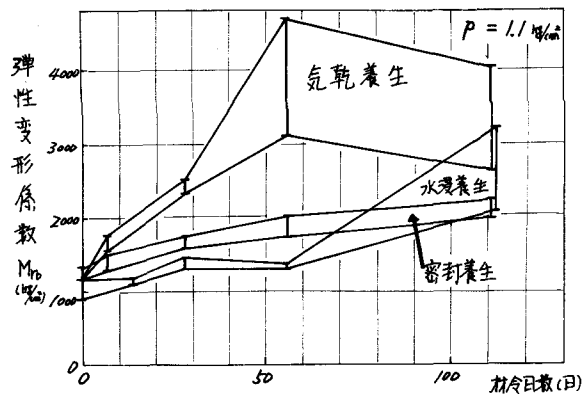


図-1 弹性変形係数と材令日数の関係

Masaru NISHI, Hiroyuki KOBATA, Masahiro KONISHI

比(偏差応力と平均主応力の比)の関係を示したものである。同図より、スラブのポアソン比は材食の進行に伴い次第に小さくなることが認められる。この傾向は、密封養生より気乾養生の方が顕著にあらわれており、材食日数が弾性変形係数に及ぼす影響とよく一致している。図は省略したが、水碎スラブに関するも同様の値で、同様の傾向が認められた。

図-3は、一例として、徐冷スラブの気乾養生を行なった場合の載荷回数と塑性ひずみの関係を示したものである。同図より、材食の進行に伴い塑性ひずみは小さくなり、載荷回数の増加とともに塑性ひずみの増加割合は減少することが認められる。なお、図は省略したが、他の養生方法に関しては、図-1に示した弾性変形係数の場合と同様に、塑性ひずみの顕著な減少は認められなかつた。

4. 解析結果

上述の弾性定数を用いて、舗装要綱に基づいて設計された諸種の舗装断面に関する疲労寿命を解析した。それらの断面は、軽交通舗装断面(A交通、路床土CBR=8)、重交通舗装断面(D交通、路床土CBR=2)および中間断面(B交通、路床土CBR=4)である。表-2は、各舗装断面の疲労破壊に至るまでの載荷回数 N_f を示したものである。なお、舗装温度は春季(15°C)とし、 N_f の算定にはWitzczakの提案式⁽³⁾を使用した。同表より、スラブの硬化現象が生じていない場合の N_f は、切込み碎石とほぼ同等がそれ以下になつてゐるが、材食の増加とともに、 N_f の値は大きくなり、全断面に関してスラブを用いた方が安全側になつてゐることが認められる。特に、軽交通舗装断面ではこの傾向は著しいようである。

なお、実験データの不足のため、やだち掘山の解析はできなかつたが、今後、この種の実験を継続していく予定である。

参考文献

- (1) 西、小畑、伊藤; “繰返し荷重を受けた高圧スラブの2,3の性質について” 関西技術講演集、昭和55年6月、II-10
- (2) 谷本、西、谷口; “繰返し荷重を受けた粘性路床土の動的性質について” 第3回国土工学研究発表会講演集、昭和43年6月、P385-P388
- (3) M.W.Witzczak; “Design of Full Depth Asphalt Airfield Pavement” the 3rd. Int. Conf. on the Structural Design of Asphalt Pavement, 1972

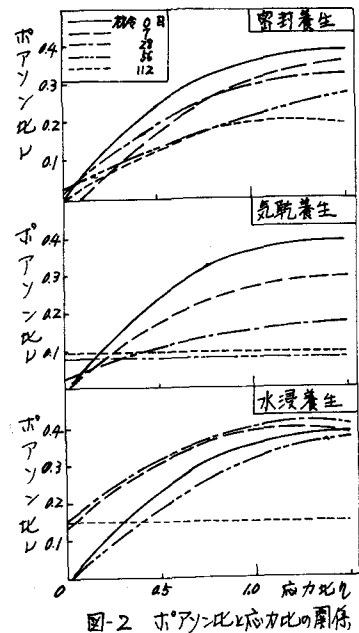


図-2 ポアソン比と応力比の関係

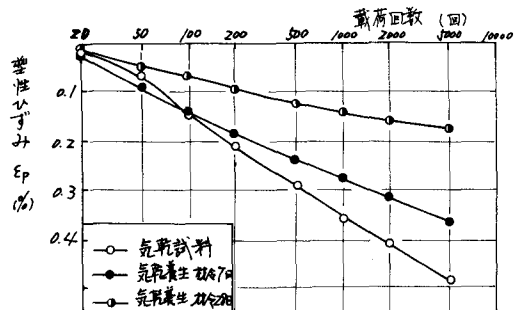


図-3 塑性ひずみと載荷回数の関係

表-2 疲労破壊に至るまでの載荷回数 ($\times 10^4$)

	初期荷重	万回荷重	密封養生12日	気乾養生16日	水浸養生12日
軽交通 舗装断面	867	725	2845	3463	2633
中間 舗装断面	180	184	236	302	246
重交通 舗装断面	222	223	231	271	293